

Oppgave 1

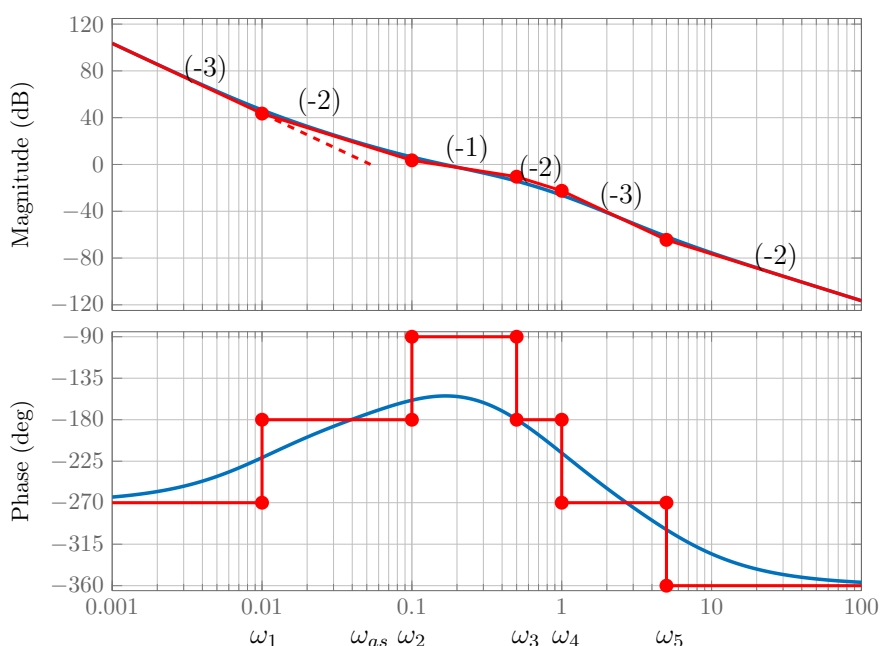
a) Dette er en PID -regulator med begrenset derivat virkning. Den høyre delen ($\frac{1+T_d s}{1+\alpha T_d s}$) er en begrenset derivat regulator, PD , denne skal stabilisere systemet. Den venstre delen ($\frac{1+T_i s}{T_i s}$) er en integral regulator, PI , denne skal fjerne stasjonært avvik.

b) Vi har $h_0 = \frac{t_0}{n_0}$, vi får dermed $M(s) = \frac{t_0}{n_0 + t_0}$. $\text{Grad}(n_0) = 5$. $\text{Grad}(t_0) = 3$. $\text{Grad}(n_0 + t_0) = \max(5, 3) = 5$.

c) Prosessen, h_u , har to poler i origo. Ved Z-N skal man øke K_p i lukket sløyfe med proporsjonal regulator til man når stabilitetsgrensa. Men dette lukkede systemet er på stabilitetsgrensa for alle $K_p \Rightarrow$ Z-N kan ikke brukes.

SIMC-metoden forutsetter åpent stabil prosess, h_u , slik at vi kan få en sprang respons på den. Men prosessen h_u er ustabil (to poler i origo) \Rightarrow SIMC kan ikke brukes.

d) Prosessen, h_u , har meget negativt faseforløp. Integral-virkningen gir et ekstra bidrag på -90° i gal retning. Ved å sette T_i svært stor, kan man begrense dette bidraget til bare lave frekvenser. Ulempen er at det tar lang tid før stasjonært avvik blir fjerna.



Figur 1: Oppgave 1e Bode-diagram

- e) Vi har merket de forskjellige knekkfrekvensene i figur 1, med målingene er oppgitt her

Merkelapp	Frekvens	Periode	Parameter
ω_1	0.01	100	T_i
ω_{as}	0.053	-	-
ω_2	0.1	10	T_d
ω_3	0.5	2	αT_d
ω_4	1	1	T_1
ω_5	5	0.2	T_2

Vi har kommet frem til parameterne som følger. Først så har vi oppgitt at $T_2 = 0.2$. Videre så vet vi at vi skal ha to perioder der den ene skal være lik den andre multiplisert med $\alpha = 0.2$. Vi ser at dette tilsvarer frekvensene ω_3 og ω_4 , hvilket gir $T_d = 10$. Da gjenstår det to perioder $\frac{1}{\omega_1} = 100$ og $\frac{1}{\omega_4} = 1$ som tilsvarer T_i og T_1 . Vi vet at T_i må være stor, og vi får dermed $T_i = 100$ og $T_1 = 1$.

Til slutt skal vi finne K_p . Vi vet at asymptoten ved lave frekvenser skjærer 0-db linjen i $\omega_{as} = K^{\frac{1}{q}}$, der q er antall integrasjoner og vi har $K = \frac{K_p}{T_i}$. Dermed får vi $K_p = T_i \omega_{as}^3 = 100 \times 0.053^3 = 0.15$. (Her godtar vi måleunøyaktigheter på $\omega_{as} \in [0.045, 0.06]$ hvilket tilsvarer $K_p \in [0.009, 0.021]$.)

- f) Se figur 1. Legg merke til siste knekk: $|h_0|$ opp, $\angle h_0$ ned. Dette skyldes leddet $(1 - T_2 s)$ i teller, hvilket gjør at vi har et ikke-minimum fase system, "negativt nullpunkt".
- g) Den er for oscillatorisk. ψ er under 30° , skulle gjerne vært over 45° . $|N|_{\max}$ er godt over 6 dB, burde vært max 6 dB. Det vil si vi er for nært stabilitetsgrensa, noe den oscillatoriske responsen også indikerer.
- h) Av bode og nichols-diagrammet ser vi at systemet kan bli ustabilt ikke bare for en stor K_p , men også en liten K_p .
- i) Det er 3 integratorer i $h_0 \Rightarrow y$ får null stasjonært avvik for sprang, rampe og parabel.
- j) Det er bare en integrator foran angrepspunktet til v , dermed får vi kun null stasjonært avvik ved sprang. Ikke for rampe og parabel. (Oppgave i) og j) kan også løses ved bruk av sluttverditeoremet)
- k) Leser av $\omega_c \approx 0.15$. Vi har da kravet $\omega_c \frac{T}{2} < 1^\circ \times \frac{\pi}{180^\circ}$. Dermed får vi tastetid

$$T < \frac{2}{\omega_c} \times \frac{\pi}{180} = \frac{2}{0.15} \times \frac{\pi}{180} = 0.23. \quad (1)$$

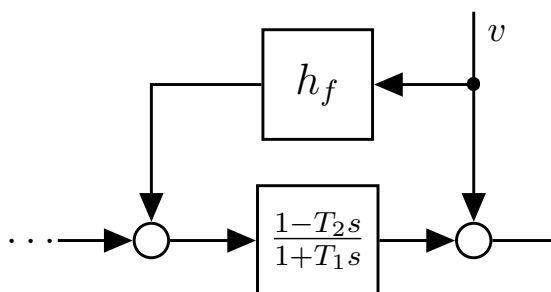
l) Se figur 2 for plassering av foroverkoblingen. En ideell foroverkobling krever

$$h_{f,i} \frac{1 - T_2 s}{1 + T_1 s} + 1 = 0 \quad (2)$$

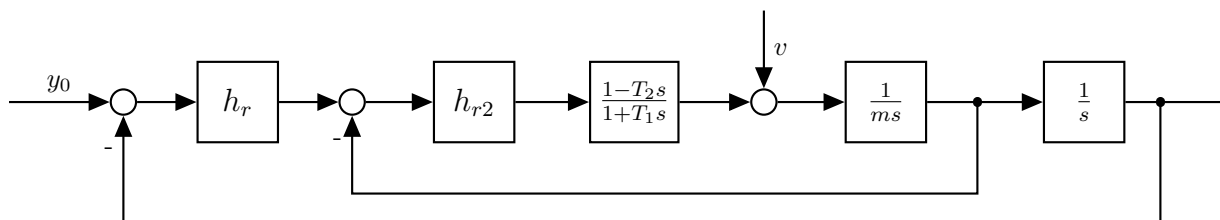
siden vi kun er ute etter en statisk foroverkobling kan vi sett $s = 0$ i uttrykket over, og vi får dermed en konstant foroverkobling

$$h_{f,i} = K_{f,i} = -1. \quad (3)$$

Denne foroverkoblingen kan kun motvirke konstante forstyrrelser.



Figur 2: Oppgave 1 l, foroverkobling

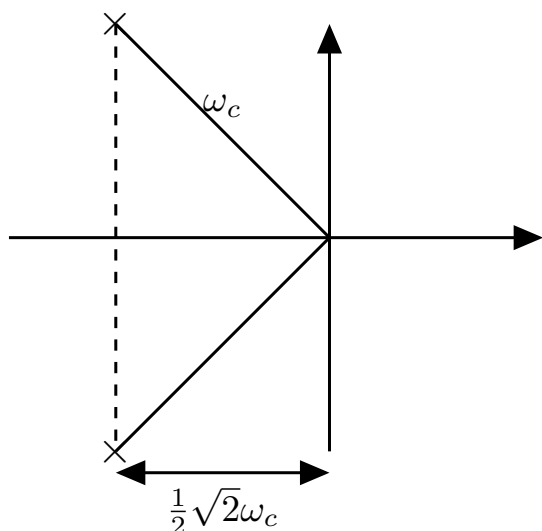


Figur 3: Oppgave 1 m, tilbakekobling

m) Se figur 3 for plassering av tilbakekoblingen. Fordeler med en slik løsning

- Raskere motvirkning av forstyrrelsen
- Raskere regulering \Rightarrow høyere båndbredde
- Økt stabilitetsmargin.

n) Ja. Foroverkobling kan velges uavhengig av tilbakekoblings-valg.

Oppgave 2

Polene i filteret ligger med avstand ω_c fra origo, plassert som en regulær mangekant med 4 sider symmetrisk om den imaginære akse. Vi har $\omega_c = 100$ og $\xi = \sin \varphi = \sin 45^\circ = \frac{1}{2}\sqrt{2}$

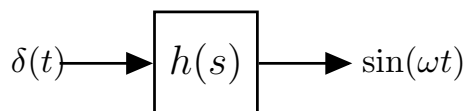
$$\begin{aligned} h(s) &= \frac{1}{\left(\frac{s}{\omega_c}\right)^2 + 2\xi\frac{s}{\omega_c} + 1} \\ &= \frac{1}{\left(\frac{s}{100}\right)^2 + \sqrt{2}\frac{s}{100} + 1} \\ &= \frac{100^2}{s^2 + 100\sqrt{2}s + 100^2} \end{aligned} \quad (4)$$

En anvendelse av lavpassfilteret er støyfiltre-
ring i reguleringssystem.

Figur 4: Plassering av polene i Butterworth lavpassfilter med orden 2

Oppgave 3 Otto Smith-regulator er gunstig når vi har en tidsforsinkelse, $e^{-\tau s}$, inne i lukket sløyfe. Den store fordelen er at Otto Smith-regulatoren gjør om dette til et reguleringsproblem hvor tidsforsinkelsen, $e^{-\tau s}$, flyttes ut av lukket sløyfe (v.27).

Vi ser at prosessmodellen inngår i Otto Smith-regulatoren, hvilket er det vi mener med modellbasert regulator.

Oppgave 4

Figur 5: Oppgave 4a

- a) Fra formelsamlingen har vi at impulsresponsen til $\frac{K\omega_0^2}{s^2+\omega_0^2}$ er $h(t) = K\omega_0 \sin(\omega_0 t)$. Dersom vi sammenlikner uttrykket $h(t)$ med $\sin \omega t$ får vi at $\omega_0 = \omega$ og $K = \frac{1}{\omega_0} = \frac{1}{\omega}$. Det gir transferfunksjonen

$$h(s) = \frac{\frac{1}{\omega}\omega^2}{s^2 + \omega^2} = \frac{\omega}{s^2 + \omega^2} \quad (5)$$

- b) Her finnes det flere løsninger. Dersom vi bruker (V2.23) får:

$$A = \begin{bmatrix} 0 & 1 \\ -\omega^2 & 0 \end{bmatrix}, B = \begin{bmatrix} 0 \\ 1 \end{bmatrix}, \text{ og } c = [\omega \quad 0] \quad (6)$$

Løsning 2:

$$A = \begin{bmatrix} 0 & 1 \\ -\omega^2 & 0 \end{bmatrix}, B = \begin{bmatrix} 0 \\ \omega \end{bmatrix}, \text{ og } c = [1 \quad 0] \quad (7)$$

Løsning 3:

$$A = \begin{bmatrix} 0 & -\omega^2 \\ 1 & 0 \end{bmatrix}, B = \begin{bmatrix} 1 \\ 0 \end{bmatrix}, \text{ og } c = [0 \quad \omega] \quad (8)$$

Løsning 4:

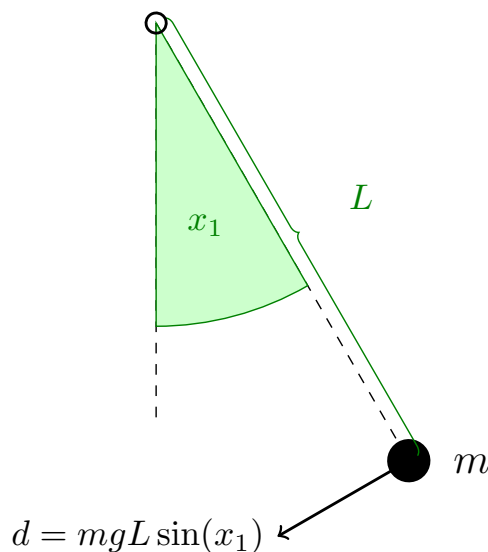
$$A = \begin{bmatrix} 0 & -\omega^2 \\ 1 & 0 \end{bmatrix}, B = \begin{bmatrix} \omega \\ 0 \end{bmatrix}, \text{ og } c = [0 \quad 1] \quad (9)$$

- c) Først, må vi finne en modell for pendelen. Vi starter med Newtons lov for rotasjon $d = J\dot{\omega}$, der d er dreiemoment (kraft til å forandre et legemes rotasjon om sin egen akse), J er tregheten til massen og $\dot{\omega}$ er den deriverte av vinkelhastigheten. Videre har vi oppgitt i formelsamlingen at tregheten til en masse på en vektløs stang er $J = mL^2$ (V.6). Til slutt vet vi at dreiemomentet om pendelen er gitt som kraft multiplisert med arm, hvilket gir $d = mg \sin(x_1) \times L$, se figur 6. Setter vi sammen disse likningene får vi

$$\begin{aligned} d &= J\ddot{x}_1 \\ -mgL \sin(x_1) &= mL^2\ddot{x}_1 \\ \ddot{x}_1 &= -\frac{g}{L} \sin(x_1) \end{aligned} \quad (10)$$

Utvider vi denne modellen med en ekstra tilstand $x_2 = \dot{x}_1$ får vi

$$\dot{x} = \begin{bmatrix} \dot{x}_1 \\ \dot{x}_2 \end{bmatrix} = \begin{bmatrix} x_2 \\ -\frac{g}{L} \sin(x_1) \end{bmatrix} = \begin{bmatrix} f_1(x) \\ f_2(x) \end{bmatrix} = f(x) \quad (11)$$



Figur 6: Oppgave 4c, pendel

Likevektspunktet til dette systemet kan vi finne ved å sette $\dot{x} = 0$. Vi ser da at vi får $x_2 = 0$ og $\sin(x_1) = 0$ hvilket gir $x_1 = 0$ eller $x_1 = \pi$. Likevektspunktet $(\pi, 0)$ er ustabilt og vi velger derfor likevektspunktet $(0, 0)$ som arbeidspunkt.

Vi kan nå linearisere modellen rundt arbeidspunktet $(0, 0)$.

$$A = \begin{bmatrix} \frac{df_1}{dx_1} & \frac{df_1}{dx_2} \\ \frac{df_2}{dx_1} & \frac{df_2}{dx_2} \end{bmatrix}_{x^*=(0,0)} = \begin{bmatrix} 0 & 1 \\ -\frac{g}{L} \cos(x_1) & 0 \end{bmatrix}_{x^*=(0,0)} = \begin{bmatrix} 0 & 1 \\ -\frac{g}{L} & 0 \end{bmatrix} \quad (12)$$

Det lineariserte autonome modellen blir dermed:

$$\Delta \dot{x} = A \Delta x \quad (13)$$

med A gitt i likning (12), og Δx er x linearisert om arbeidspunktet x^* .

d) Vi finner først $x(s)$ og bruker invers laplace for å finne $x_1(t)$.

$$\begin{aligned} x(s) &= (sI - A)^{-1} x_0 = \begin{bmatrix} s & -1 \\ \frac{g}{L} & s \end{bmatrix} \begin{bmatrix} 0 \\ x_{20} \end{bmatrix} \\ &= \frac{1}{s^2 + \frac{g}{L}} \begin{bmatrix} s & 1 \\ -\frac{g}{L} & 0 \end{bmatrix} \begin{bmatrix} 0 \\ x_{20} \end{bmatrix} = \frac{1}{s^2 + \frac{g}{L}} \begin{bmatrix} x_{20} \\ 0 \end{bmatrix} \end{aligned} \quad (14)$$

Vi har dermed at $x_1(s) = \frac{x_{20}}{s^2 + \frac{g}{L}}$, sammenlikner vi dette med impulsresponsen til $K\omega \sin(\omega t)$ (fra formelsamlingen) ser vi at $\omega = \sqrt{\frac{g}{L}}$ og $K = x_{20} \frac{L}{g}$. Vi får dermed

$$x_1(t) = x_{20} \sqrt{\frac{L}{g}} \sin\left(\sqrt{\frac{g}{L}} t\right). \quad (15)$$

Alternativ løsning (uten bruk av svaret fra forrige oppgave):

Vi vet at $x_2(t)$ har sitt maksimum ved $x_1(t) = 0$. Videre har vi at $x_1(t)$ er sinusformet. Da må $x_2(t)$ være en cosinus funksjon, siden $x_2(t) = \dot{x}_1(t)$. Vi antar at pendelen svinger med frekvens ω . Dermed kan vi sette opp likningen:

$$x_2(t) = x_{20} \cos(\omega t) \quad (16)$$

Vi kan finne funksjonen for $x_1(t)$ ved å integrere dette uttrykket:

$$x_1(t) = \int x_2(t) dt = \frac{x_{20}}{\omega} \sin(\omega t) \quad (17)$$

Dette stemmer svaret fra likning (15) når vi vet at frekvensen pendelen svinger med er $\omega = \sqrt{\frac{g}{L}}$.

Oppgave 5

- a) I 2. ordens leddet har alle koeffisienter samme fortegn (fra Rouths kriterium i formelsamlingen) hvilket vil si at alle røtter er i v.h.p. Dermed gjenstår kun 1. ordens leddet som har en pol i høyre halvplan. Systemet har dermed totalt en pol i høyre halvplan, $N_p = 1$.
- b) Nei, systemet er ustabilt. Vektoren $1 + h_0(j\omega)$ har en netto vinkeldreining lik null, $\Delta\angle(1 + h_0) = 0$. Fra Nyquist stabilitetskriterium får vi da at antall poler i det lukkede systemet blir

$$N_n = N_p - \frac{\Delta\angle(1 + h_0)}{2\pi} = 1. \quad (18)$$

Siden det lukkede systemet har en pol i høyre halvplan så er systemet ustabilt.

- c) For at det lukkede systemet skal bli stabilt trenger vektoren $1 + h_0(j\omega)$ en positiv omdreining. Det får vi hvis den venstre løkken i figur 5.1 omslutter punktet $(-1,0)$. Minimum forsterkning vi trenger for å omslutte $(-1,0)$ med venstre løkke er $K_{p,\min} = K_{p\frac{1}{0.5}} = 2$. Maksimum blir $K_{p,\max} = K_{p\frac{1}{0.227}} = 4.4$. Stabilitetsgrensene for K_p blir dermed

$$2 < K_p < 4.4 \quad (19)$$

Formelsamling til eksamen 10/6-17

$$\lim_{t \rightarrow \infty} f(t) = \lim_{s \rightarrow 0} sf(s), \text{ og } \lim_{t \rightarrow 0} f(t) = \lim_{s \rightarrow \infty} sf(s) \quad (\text{V.1})$$

$$\mathcal{L} [\dot{f}(t)] = sf(s) - f(t)|_{t=0}, \quad \mathcal{L} [\ddot{f}(t)] = s^2 f(s) - sf(s)|_{t=0} - \dot{f}(t)|_{t=0} \quad (\text{V.2})$$

$$\text{Residuregning: } f(t) = \sum_{a_i} \frac{1}{(m-1)!} \left[\frac{\partial^{m-1}}{\partial s^{m-1}} \{ (s-a_i)^m f(s) e^{st} \} \right] \Big|_{s=a_i} \quad (\text{V.3})$$

$$\text{Tidsforsinkelse: } \mathcal{L} [f(t-\tau)] = e^{-\tau s} f(s) \quad (\text{V.4})$$

$$|\lambda \mathbf{I} - \mathbf{A}| = 0 \quad (\text{V.5})$$

$$\text{Rettlinja bevegelse: } f = ma, \text{ Rotasjon: } d = J\dot{\omega}; \text{ med masse p\aa vektlos stang har vi } J = ml^2 \quad (\text{V.6})$$

$$\text{Ohms lov: } u = Ri, \quad \text{kondensator (kapasitans): } i = C \frac{du}{dt}; \quad \text{induktans: } u = L \frac{di}{dt} \quad (\text{V.7})$$

$$\text{Folding (konvolusjon): } y(t) = h(t) * u(t) = \int_0^t h(t-\tau) u(\tau) d\tau, \quad \mathcal{L} [h(t) * u(t)] = h(s) u(s) \quad (\text{V.8})$$

$$\begin{aligned} \text{Linearisering: } \Delta \dot{\mathbf{x}} &= \left. \frac{\partial \mathbf{f}}{\partial \mathbf{x}} \right|_{\mathbf{x}^p, \mathbf{u}^p} \Delta \mathbf{x} + \left. \frac{\partial \mathbf{f}}{\partial \mathbf{u}} \right|_{\mathbf{x}^p, \mathbf{u}^p} \Delta \mathbf{u}, \quad \mathbf{A} = \left. \frac{\partial \mathbf{f}}{\partial \mathbf{x}} \right|_{\mathbf{x}^p, \mathbf{u}^p} = \left[\begin{array}{ccc} \frac{\partial f_1}{\partial x_1} & \frac{\partial f_1}{\partial x_2} & \dots \\ \frac{\partial f_2}{\partial x_1} & \frac{\partial f_2}{\partial x_2} & \dots \\ \dots & \dots & \dots \end{array} \right] \Big|_{\mathbf{x}^p, \mathbf{u}^p} \\ \Delta \dot{\mathbf{x}} &= \mathbf{A} \Delta \mathbf{x} + \mathbf{B} \Delta \mathbf{u} \end{aligned} \quad (\text{V.9})$$

$$x[\text{dB}] = 20 \cdot \log_{10}(x), \quad x = 10^{(x[\text{dB}])/20} \quad (\text{V.10})$$

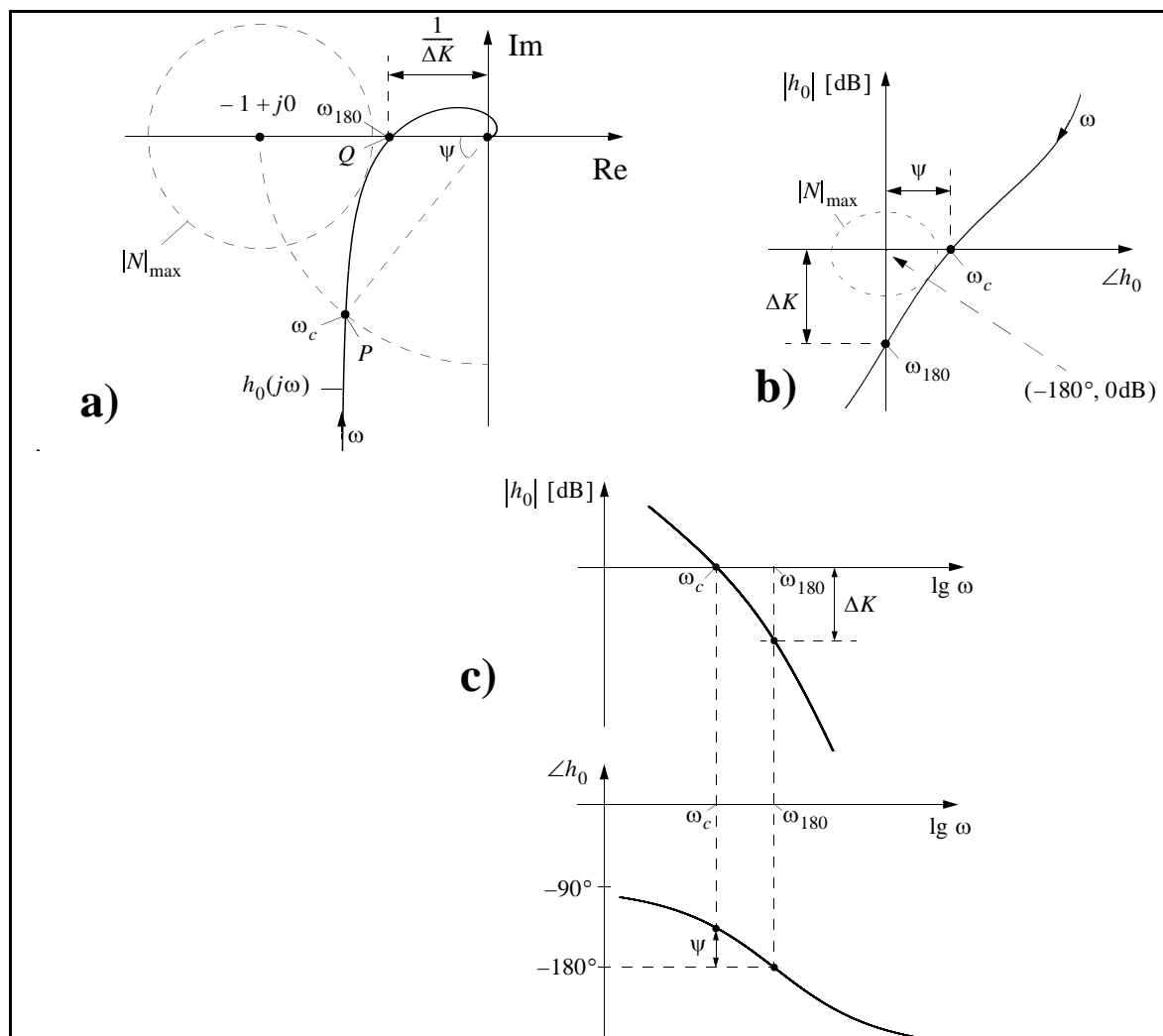
$$N(s) = \frac{1}{1+h_0(s)}, \quad M(s) = \frac{h_0}{1+h_0(s)}, \quad M(s) + N(s) = 1, \quad \frac{e}{v}(s) = -h_v(s)N(s) \quad (\text{V.11})$$

Nyquists stabilitetskriterium: Gitt en \aa pen prosess $h_0(s)$ med N_p poler i h\oyre halvplan. Vektoren $1 + h_0(j\omega)$ f\aa r en netto vinkeldreining (dreieretning er definert positiv *mot* urviseren) lik

$$\Delta \angle(1 + h_0) = -2\pi(N_n - N_p) \quad \text{n\aa r } \omega \text{ g\aa r fra } -\infty \text{ til } \infty \quad (\text{V.12})$$

N_n er antall poler i h.h.p. for det lukkede (tilbakekoblede) system. $N_n = 0$ kreves for stabilt system.

(V.13)



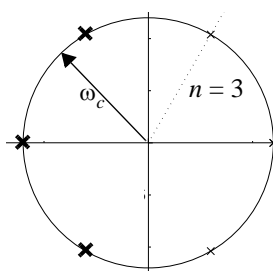
$$\psi = \angle h_0(j\omega_c) - (-180^\circ), \quad \frac{1}{\Delta K} = |h_0(j\omega_{180})|, \quad \Delta K = \frac{1}{|h_0(j\omega_{180})|} \quad (\text{V.14})$$

$$e^{-\tau s} \approx \frac{1 - \tau s/2}{1 + \tau s/2} \quad (\text{V.15})$$

Ziegler-Nichols' lukket-sløyfe-regler:

Regulator	K_p	T_i	T_d
P	$0.5K_{pk}$	∞	0
PI	$0.45K_{pk}$	$0.85T_k$	0
PID	$0.6K_{pk}$	$0.5T_k$	$0.12T_k$

$$, \quad T_k = \frac{2\pi}{\omega_{180}} \quad (\text{V.16})$$



Butterworth lavpassfilter av orden n : De n polene i $h(s)$ ligger på hjørnene i venstre halvdel av en regulær mangekant med $2n$ sider, der mangekanten er plassert slik at den ligger symmetrisk om Im-aksen, og hvor avstanden fra origo og ut til hvert hjørne (= pol) er filterets knekkfrekvens ω_c . (V.17)

Høypassfilter med knekkfrekvens ω_c : Lag først lavpassfilter med ω_c . Erstatt så alle s i transferfunksjonen med ω_c^2/s . (V.18)

Røtter er bare i v.h.p. for polynom $\alpha_2 s^2 + \alpha_1 s + \alpha_0$, hvis og bare hvis alle koeffisienter har samme fortegn.
 For 3. ordens polynom $\alpha_3 s^3 + \alpha_2 s^2 + \alpha_1 s + \alpha_0$ kreves *i tillegg* $\alpha_1 \alpha_2 > \alpha_0 \alpha_3$ (V.19)

Skogestads “SIMC” åpen-sløyfe-metode for PI-innstilling:

Sett på et sprang. Anta at prosessen $\approx h_u = \frac{K e^{-\tau s}}{1 + T_1 s}$. Mål (dvs. anslå) T_1 , K og τ ut fra responsen.

Velg så $K_p = \frac{T_1}{K(\tau + T_L)}$ og $T_i = \min(T_1, 4(T_L + \tau))$, hvor T_L er ønsket tidskonstant i responsen til det lukkede systemet. T_L bør velges som $T_L > 0.3\tau$, f. eks. $T_L = \tau$. (V.20)

$$\text{PI-regulator: } h_r = K_p \frac{1 + T_i s}{T_i s} \quad (\text{V.21})$$

$$\text{begrenset PD-regulator: } h_r = K_p \frac{1 + T_d s}{1 + \alpha T_d s} \quad (\text{V.22})$$

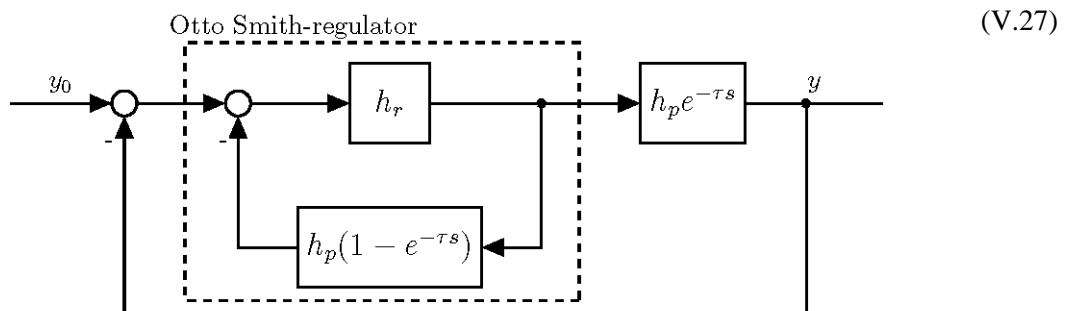
$$\mathbf{A} = \begin{bmatrix} 0 & 1 & 0 & \cdot & \cdot & 0 & 0 \\ 0 & 0 & 1 & & & 0 & 0 \\ \cdot & \cdot & & \cdot & & \cdot & \cdot \\ \cdot & \cdot & & \cdot & & \cdot & \cdot \\ \cdot & \cdot & & & \cdot & \cdot & \cdot \\ 0 & 0 & 0 & \cdot & \cdot & 0 & 1 \\ -\alpha_0 & -\alpha_1 & -\alpha_2 & \cdot & \cdot & -\alpha_{n-2} & -\alpha_{n-1} \end{bmatrix}, \quad \mathbf{b} = \begin{bmatrix} 0 \\ 0 \\ \cdot \\ \cdot \\ \cdot \\ 0 \\ 1 \end{bmatrix} \quad (\text{V.23})$$

$$\mathbf{c}^T = [\rho_0 \ \rho_1 \ \rho_2 \ \cdot \cdot \cdot \ \rho_{n-1}]$$

$$\text{gir } \frac{y}{u}(s) = h(s) = \frac{\rho_{n-1} s^{n-1} + \dots + \rho_1 s + \rho_0}{s^n + \alpha_{n-1} s^{n-1} + \dots + \alpha_1 s + \alpha_0} \quad (\text{V.24})$$

Diskret regulator: Alle s erstattes med $\frac{2}{T} \frac{z-1}{z+1}$, der z er en tidsforskyvingsoperator. (V.25)

Diskret regulator brukt på kontinuerlig prosess medfører tilnærma en ekstra tidsforsinkelse = $T/2$ i sløyfetransferfunksjonen. (V.26)



Sammenhenger mellom tilstandsrombeskrivelse og Laplace, og mellom 1. ordens og høyere ordens lineære systemer

	1. orden	(eks.: RC-krets)	Høyere orden
1.	Differensiallikning	$\dot{x} = ax + bu \quad (\dot{x} = -\frac{1}{T}x + \frac{1}{T}u)$	$\dot{\mathbf{x}} = \mathbf{A}\mathbf{x} + \mathbf{B}u$
2.	Laplace	$x(s) = \frac{1}{s-a}x(t=0) + \frac{b}{s-a}u(s)$	$\mathbf{x}(s) = (s\mathbf{I} - \mathbf{A})^{-1}\mathbf{x}(t=0) + (s\mathbf{I} - \mathbf{A})^{-1}\mathbf{B}u(s)$
3.	Løsning	$x(t) = e^{at}x(0) + \int_0^t e^{a(t-\tau)}bu(\tau)d\tau$	$\mathbf{x}(t) = e^{\mathbf{A}t}\mathbf{x}(0) + \int_0^t e^{\mathbf{A}(t-\tau)}\mathbf{B}u(\tau)d\tau$ ¹⁾
4.	Dekopling	(Trivielt:) $A = a = \lambda = \text{skalar}$	$A = M\Lambda M^{-1} \quad , \quad e^{\mathbf{A}t} = Me^{\Lambda t}M^{-1} \quad , \quad \Lambda = \begin{bmatrix} \lambda_1 & \dots & 0 \\ \vdots & \ddots & \vdots \\ 0 & \dots & \lambda_n \end{bmatrix}$
5.	Rekkeutvikling	$e^{at} = 1 + at + \frac{a^2t^2}{2!} + \frac{a^3t^3}{3!} + \dots$	$e^{\mathbf{A}t} = \Phi(t) = \mathbf{I} + \mathbf{A}t + \mathbf{A}^2\frac{t^2}{2!} + \mathbf{A}^3\frac{t^3}{3!} + \dots$ ²⁾
6.	$(t) \xleftrightarrow{\mathcal{L}} (s)$	$e^{at} \xleftrightarrow{\mathcal{L}} \frac{1}{s-a} \quad (\frac{1}{T}e^{-t/T} \xleftrightarrow{\mathcal{L}} \frac{1}{1+Ts})$	$e^{\mathbf{A}t} = \Phi(t) \xleftrightarrow{\mathcal{L}} (s\mathbf{I} - \mathbf{A})^{-1}$
7.	Fra $u(s)$ til $y(s)$	$y = cx \quad y(s) = c\frac{b}{s-a}u(s) \quad h(s) = \frac{cb}{s-a}$	$\mathbf{y} = \mathbf{C}\mathbf{x} \quad \mathbf{y}(s) = \mathbf{C}(s\mathbf{I} - \mathbf{A})^{-1}\mathbf{B}u(s) \quad H(s) = \mathbf{C}(s\mathbf{I} - \mathbf{A})^{-1}\mathbf{B}$
8.	Impulsrespons	$h(t) \xleftrightarrow{\mathcal{L}} h(s) \quad h(t) = cbe^{at}$	³⁾ $h(t) = \mathbf{c}^T e^{\mathbf{A}t}\mathbf{b}$ ⁴⁾ $\xleftrightarrow{\mathcal{L}} h(s) = \mathbf{c}^T (s\mathbf{I} - \mathbf{A})^{-1}\mathbf{b}$

1) $\int_0^t e^{\mathbf{A}(t-\tau)}\mathbf{B}u(\tau)d\tau = e^{\mathbf{A}t}\mathbf{B} * \mathbf{u}(t) \xleftrightarrow{\mathcal{L}} (s\mathbf{I} - \mathbf{A})^{-1}\mathbf{B} \cdot \mathbf{u}(s)$

2) NB: $e^{\mathbf{A}t} \neq \{e^{a_{ij}t}\}$, bortsett fra når $A = \Lambda$ er diagonal.

3) Antar nå at u og y er skalare.

4) Hvis y og u er skalare og $\mathbf{x}(0) = \mathbf{0}$ så har vi fra 3. linje at $y(t) = \int_0^t h(t-\tau)u(\tau)d\tau = h(t) * u(t)$

Tilstandsrom: $\dot{\mathbf{x}} = \mathbf{A}\mathbf{x} + \mathbf{B}u.$

Eigenverdier følger av: $|\lambda\mathbf{I} - \mathbf{A}| = 0$

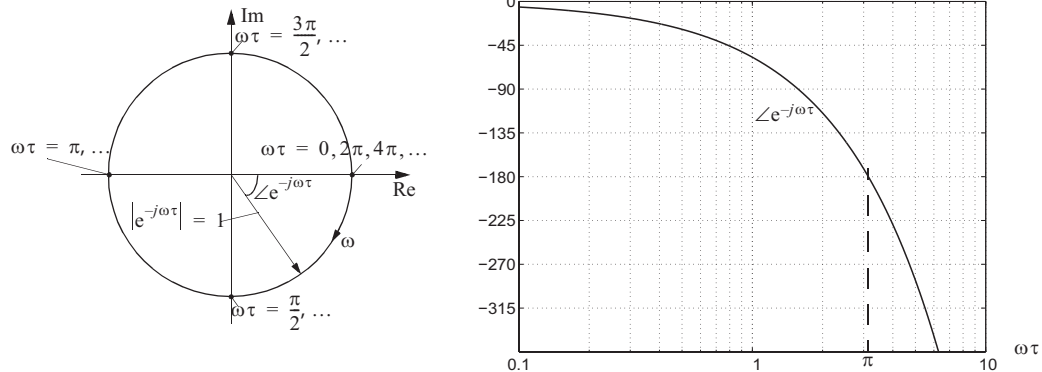
Laplace: $H(s) = \mathbf{C}(s\mathbf{I} - \mathbf{A})^{-1}\mathbf{B} = \mathbf{C}^{\text{adj}}(s\mathbf{I} - \mathbf{A})\mathbf{B} \quad \Rightarrow \quad \text{Polene gitt av nevneren: } |s\mathbf{I} - \mathbf{A}| = 0.$

\Rightarrow poler = eigenverdier

Orden	Transferfunksjon $h(s)$	Poler	Impuls- og sprangresponser
1. orden	$h(s) = \frac{K}{1 + Ts} = \frac{K}{s + \frac{1}{T}} = \frac{-K\lambda}{s - \lambda}$	<p>$\lambda = -\frac{1}{T}$</p>	<p>impulsrespons:</p> $h(t) = L^{-1}[h(s)] = \frac{K}{T}e^{-t/T}$ <p>sprangrespons:</p> $k(t) = L^{-1}\left[\frac{1}{s}h(s)\right] = \int_0^t h(\tau)d\tau = K(1 - e^{-t/T})$
2. orden, $\zeta = 0$	$\frac{K}{\left(\frac{s}{\omega_0}\right)^2 + 1} = \frac{K\omega_0^2}{s^2 + \omega_0^2} = \frac{K\lambda_1\lambda_2}{(s - \lambda_1)(s - \lambda_2)}$	<p>$j\omega_0$</p> <p>$\zeta = 0$</p> <p>$\lambda_{1,2} = \pm j\omega_0 = \pm j\beta$</p>	$h(t) = K\omega_0 \sin \omega_0 t$ $k(t) = K(1 - \cos \omega_0 t)$
2. orden, $\zeta < 1$	$\frac{K}{\left(\frac{s}{\omega_0}\right)^2 + 2\zeta\left(\frac{s}{\omega_0}\right) + 1} = \frac{K\omega_0^2}{s^2 + 2\zeta\omega_0 s + \omega_0^2} = \frac{K\lambda_1\lambda_2}{(s - \lambda_1)(s - \lambda_2)}$ $= \frac{K(\alpha^2 + \beta^2)}{s^2 + 2\alpha s + (\alpha^2 + \beta^2)}, \quad \omega_0 = \frac{\beta}{\sqrt{1 - \zeta^2}} = \sqrt{\alpha^2 + \beta^2}$	<p>$\zeta = \sin \varphi$, når $\zeta \leq 1$</p> <p>$\lambda_{1,2} = -\alpha \pm j\beta$</p>	$h(t) = K \frac{\omega_0^2}{\beta} e^{-\alpha t} \sin \beta t$ $k(t) = K \left(1 - \frac{\omega_0}{\beta} e^{-\alpha t} \cos(\beta t - \varphi) \right)$
2. orden, $\zeta = 1$	$\frac{K}{\left(\frac{s}{\omega_0}\right)^2 + 2\left(\frac{s}{\omega_0}\right) + 1} = \frac{K\omega_0^2}{(s + \omega_0)^2} = \frac{K \frac{\omega_0^2}{T^2}}{\left(s + \frac{1}{T}\right)^2}$	<p>$\zeta = 1$</p> <p>$\lambda_{1,2} = -\alpha = -\omega_0 = -\frac{1}{T}$</p>	$h(t) = \frac{K}{T^2} t e^{-t/T}$ $k(t) = K \left(1 - \left[1 + \frac{t}{T} \right] e^{-t/T} \right)$
2. orden, $\zeta > 1$	$\frac{K}{(1 + T_1 s)(1 + T_2 s)} = \frac{\frac{K}{T_1 T_2}}{\left(s + \frac{1}{T_1}\right)\left(s + \frac{1}{T_2}\right)} = \frac{K\lambda_1\lambda_2}{(s - \lambda_1)(s - \lambda_2)}$	<p>$\zeta > 1$</p> <p>$-\frac{1}{T_2}$ $-\frac{1}{T_1}$</p>	$h(t) = \frac{K}{T_1 - T_2} \left(e^{-\frac{t}{T_1}} - e^{-\frac{t}{T_2}} \right)$ $k(t) = K \left(1 + \frac{T_2}{T_1 - T_2} e^{-\frac{t}{T_1}} - \frac{T_1}{T_1 - T_2} e^{-\frac{t}{T_2}} \right)$

$$\omega_0 = \sqrt{\lambda_1 \lambda_2}, \quad \zeta = \frac{-(\lambda_1 + \lambda_2)}{2\sqrt{\lambda_1 \lambda_2}}, \text{ gjelder for alle } \lambda \neq 0$$

Figur 6.17
Nyquist-diagram
og faseforløp i
Bodediagram
for $e^{-j\omega\tau}$



6.4.1 Prosedyre for tegning av asymptotisk AFF-diagram (= bode-diagram)

Her følger en generell prosedyre som alltid kan brukes:

1. Transferfunksjonen bringes over på formen (6.18). Dersom vi har transferfunksjonen

$$h(s) = \frac{K(\dots)}{(\dots)(a+s)}$$

må den omformes til

$$h(s) = \frac{K'(\dots)}{(\dots)(1+T's)}$$

der $K' = K/a$ og $T' = 1/a$. Dette må gjentas like mange ganger som vi har 1.ordens ledd i $h(s)$. Dersom vi har resonansledd

$$h(s) = \frac{K(\dots)}{(\dots)(c+bs+as^2)}$$

må vi først omforme dette til

$$h(s) = \frac{K'(\dots)}{(\dots) \left(1 + 2\zeta \frac{s}{\omega_0} + \left(\frac{s}{\omega_0} \right)^2 \right)}$$

der $K' = K/c$ og $\omega_0 = \sqrt{c/a}$. Poenget er altså at alle ledd i nevner (og i teller!) må ha konstantledd lik 1, det vil si at hvert ledd er lik 1 for $s = j0$. Forsterkning i alle ledd “samles” da i en felles K' , fra nå av bare kalt K .

2. Begynn alltid til venstre i diagrammet, ved de laveste frekvensene ($\omega \ll 1$). (Vi symboliserer “liten ω ” med å skrive $\omega \ll 1$.) Ved slike frekvenser kan vi se bort fra virkningen av nullpunkts-, tidskonstant- og resonansledd. Videre prosedyre blir:

Tilfelle a): Hvis vi har q integrasjoner i $h(s)$, $q > 0$, har vi

$$h(j\omega)_{\omega \ll 1} \approx \frac{K}{(j\omega)^q}, \quad |h(j\omega)|_{\omega \ll 1} \approx \frac{K}{\omega^q}, \quad \angle h(j\omega)_{\omega \ll 1} \approx (-q) \cdot 90^\circ$$

q kan selvsagt være lik 0, da er vi over i Tilfelle b) nedenfor.

Amplitudeforløp

Asymptoten vil ved lave frekvenser ha helning $-q$ og skjære 0-dB-linjen i $\omega = K^{1/q}$. Dermed kan vi fastlegge venstre del av $|h(j\omega)|_{as}$ og 0-dB-linjen (subskript as betyr “asymptotisk verdi av”). Se forøvrig figur 6.18).

Faseforløp

Dette er enklere. Asymptoten er horisontal og starter til venstre i $(-q) \cdot 90^\circ$.

Tilfelle b): Ingen reine integrasjoner i $h(s)$

Amplitudeforløp: Da har vi $|h(j\omega)|_{\omega \ll 1} = K$, dvs. horisontal asymptote ved lave frekvenser, i K [dB] over 0-dB-linja.

Faseforløpet starter nå til venstre med en horisontal asymptote i 0° .

3. Videre amplitudeforløp

Asymptotene skal utgjøre en sammenhengende serie av linjestykker. Ta utgangspunkt i den venstre asymptoten som allerede er tegnet, og finn den minste **knekkfrekvensen**.

Knekkfrekvensene er der den asymptotiske kurven for et ledd i en transferfunksjon knekker. De er som vist ovenfor den inverse av tidskonstanten i nullpunkts- og tidskonstantledd, og frekvensen ω_0 i et resonansledd.

Finn helningen p på asymptoten til leddet du betrakter. $p = 1$ for nullpunktsledd, -1 for tidskonstantledd og -2 for resonansledd. Tegn et nytt linjestykke fra den minste knekkfrekvensen fram til den *etterfølgende* knekkfrekvensen med en helning som er lik forrige asymptotes helning $+p$.

Sett “minste knekkfrekvens” = etterfølgende knekkfrekvens og gjenta prosedyren for neste ledd, osv.

Videre faseforløp

Asymptotene er ikke sammenhengende, men er horisontale, og springer opp eller ned ved knekkfrekvensen, med $p \cdot 90^\circ$ målt fra forrige asymptote.

For faseforløpet gjelder unntaksregelen at et nullpunktsledd av typen $1 - T_i s$ gir 90° knekk *ned*, ikke opp.

EKSEMPEL 6.6: Asymptotisk Bodediagram for en transferfunksjon med flere ledd

Vi ønsker å tegne et asymptotisk amplitudediagram og asymptotisk fasediagram for frekvensresponsen til transferfunksjonen

$$h(s) = \frac{K(1 + T_2s)(1 + T_3s)}{s(1 + T_1s)(1 + T_4s)^2} \quad (6.29)$$

der $K = 3$, $T_1 = 40$, $T_2 = 10$, $T_3 = 2$, $T_4 = 0.2$

Vi finner

$$\begin{aligned} \lg |h(j\omega)| = & \lg K + \lg |1 + j\omega T_2| + \lg |1 + j\omega T_3| \\ & - \lg \omega - \lg |1 + j\omega T_1| - 2 \lg |1 + j\omega T_4| \end{aligned} \quad (6.30)$$

Figur 6.18
Bodediagram for
 $h(s)$, eksakt
diagram, og
asymptotisk
diagram

